

# MÉTHODOLOGIE DE CONCEPTION ET D'IMPLANTATION D'EXTENSIONS

---

Ce chapitre vise à introduire les travaux effectués afin de proposer des jeux d'instruction spécialisés dédiés au décodage de codes correcteurs d'erreurs (CCE).

Dans un premier temps, le flot d'analyse et d'exploration mis en œuvre est introduit, ainsi que les contraintes architecturales retenues. L'objectif est la mise en place d'une approche permettant d'extraire les instructions ou blocs d'instructions qui affectent les performances des décodeurs de CCE en termes de temps d'exécution sur des cibles de type cœur de processeur.

À titre d'exemple, il est ensuite présenté quelques sous-parties des codes logiciels pour décodeurs les plus performants (en termes de débit) de l'état de l'art, pour les différentes familles de codes correcteurs, afin d'illustrer certains des motifs d'instructions sélectionnés.

La pertinence du flot d'exploration et les nouvelles instructions opérant sur des données scalaires sont ensuite validées par des expérimentations sur des circuits FPGA. Ces dernières sont réalisées grâce à l'enrichissement de cœurs de processeurs *open-source* de type RISC-V. L'analyse des résultats obtenus permet d'évaluer l'apport des extensions proposées sur le temps d'exécution des algorithmes de décodage considérés, mais également leurs impacts sur l'augmentation de la complexité matérielle.

---

1.1	Introduction . . . . .	2
1.2	Descriptif du flot de conception . . . . .	3
1.2.1	Amélioration du décodage logiciel des codes LDPC . . . . .	5
1.2.2	Amélioration du décodage logiciel des codes LDPC non binaires . . . . .	9
1.2.3	Algorithme de décodage logiciel des codes polaires . . . . .	12
1.2.4	Algorithme de décodage logiciel des turbo codes . . . . .	13
1.2.5	Synthèse des extensions proposées . . . . .	15

1.3	Évaluation de l'impact de l'ajout d'instructions spécialisées sur coeurs RISC-V . . . . .	17
1.4	Conclusion . . . . .	24

---

## 1.1 Introduction

Cette première partie du chapitre a pour but de présenter le flot de conception utilisé dans le cadre de cette thèse. En ce sens, est introduit, pour chacun des algorithmes de décodeur de CCE considérés dans cette étude, les instructions ou séquences d'instructions ayant des impacts négatifs sur leurs performances générales. La sélection des codes logiciels C/C++ retenus, est effectuée sur la base de leur capacité à être implantés efficacement sur des cibles de type processeur généralistes. Les algorithmes retenus constituent, à ce jour, l'état de l'art pour les cibles considérées et leurs performances ont été validées par des simulations BER/FER.

L'objectif est de déterminer, au cœur des algorithmes de décodage, les instructions ou groupes d'instructions récurrents les moins efficaces/pertinentes sur architectures programmables et qui puissent avoir une implantation matérielle *simple*. La sélection de ces motifs d'instructions est basée sur les critères suivants :

- les instructions sélectionnées doivent être compatibles avec la plupart des jeux d'instructions standards ; *i.e.* deux registres d'entrée **Source** *rS1* et *rS2* et un registre de sortie **Destination** *rD* ;
- les nouvelles instructions doivent pouvoir s'exécuter sur un seul cycle d'horloge, sans provoquer de rupture de pipeline ;
- lorsque possible, les données internes sont codées 8 bits signés.

Ce dernier point est retenu, car il présente le meilleur compromis entre complexité d'implantation, indépendamment de la cible, et les performances de décodage.

Pour mettre en œuvre cette approche, un flot de conception a été mis au point et schématisé dans la figure 1.1. Il est important de rappeler que les codes logiciels décrivant le processus de décodage des CCE ont été optimisés afin d'exposer les séquences d'instructions qui peuvent être réduites à une seule.

## 1.2 Descriptif du flot de conception

Dans un premier temps (*cf.* figure 1.1), les différents codes logiciels (*a.k.a.* *kernels* (❶ dans la figure) sont exécutés sur les cibles sélectionnées (❷). Pour toutes les familles de CCE étudiées, nous sommes partis des meilleurs algorithmes de l'état de l'art, re-codés pour un contexte embarqué. Cette première étape permet d'extraire les instructions les plus onéreuses en temps d'exécution et qui répondent aux critères définis précédemment (❸). Cela a permis d'établir pour chaque famille de CCE une liste d'instructions à intégrer (❹).

L'ensemble de ces instructions ont, par la suite, été décrites au niveau RTL en *Verilog* ou *System-Verilog* (❺). Ensuite, leur ajout dans l'ISA des coeurs RISC-V (❻) [1] à été effectué. Naturellement, afin que les kernels décrits en langage C/C++ puissent exploiter ces nouvelles instructions (❼), il a été nécessaire de les adapter en remplaçant les sections de codes initiales par des invocations en assembleur à ces nouvelles fonctionnalités (❽). Il a été également primordial de les intégrer dans les chaînes de compilation des coeurs ciblés via GCC/Binutils (❾) pour permettre la génération de programmes exécutables. Enfin, une dernière étape (❿) a permis de valider les performances des kernels modifiés sur ces coeurs étendus, grâce à des tests réalisés en simulation ou par prototypage sur des circuits FPGA (Digilent Nexys 4 et Digilent Genesys 2). Ce sont donc ces versions incluant notre kit d'instructions qui sont alors utilisées pour les études expérimentales présentées dans ce chapitre.

La figure 1.2 montre, sur l'exemple d'un cœur de processeur à l'architecture simplifiée, mais proche d'un RISC-V CV32 [1], les principales parties concernées par l'ajout de nos extensions d'instructions. Ces nouvelles instructions proposées sont encodées selon le format de type R présenté dans 1.1, qui permet un mécanisme d'échange de données registres vers registres, relativement simple et direct. Ce type d'encodage mémorise l'*OpCode* sur les 7 bits de poids faibles du registre d'instruction. Les adresses de registres sont passées dans les champs *rS1*, *rS2* pour les sources et *rD* pour la destination. Les champs *funct7* et *funct3* sont utilisés pour identifier l'instruction.

Bien que d'autres formats d'instructions existent dans la spécification RISC-V, le format de type R est suffisant pour enrichir le jeu d'instructions.

On constate ainsi qu'après l'étape de *Fetch* de l'instruction, l'étape de *Decoder* doit être mise à jour pour reconnaître les nouvelles instructions et ainsi générer des signaux de contrôle adaptés. De même, une unité de calcul spécifique à notre kit d'instructions doit

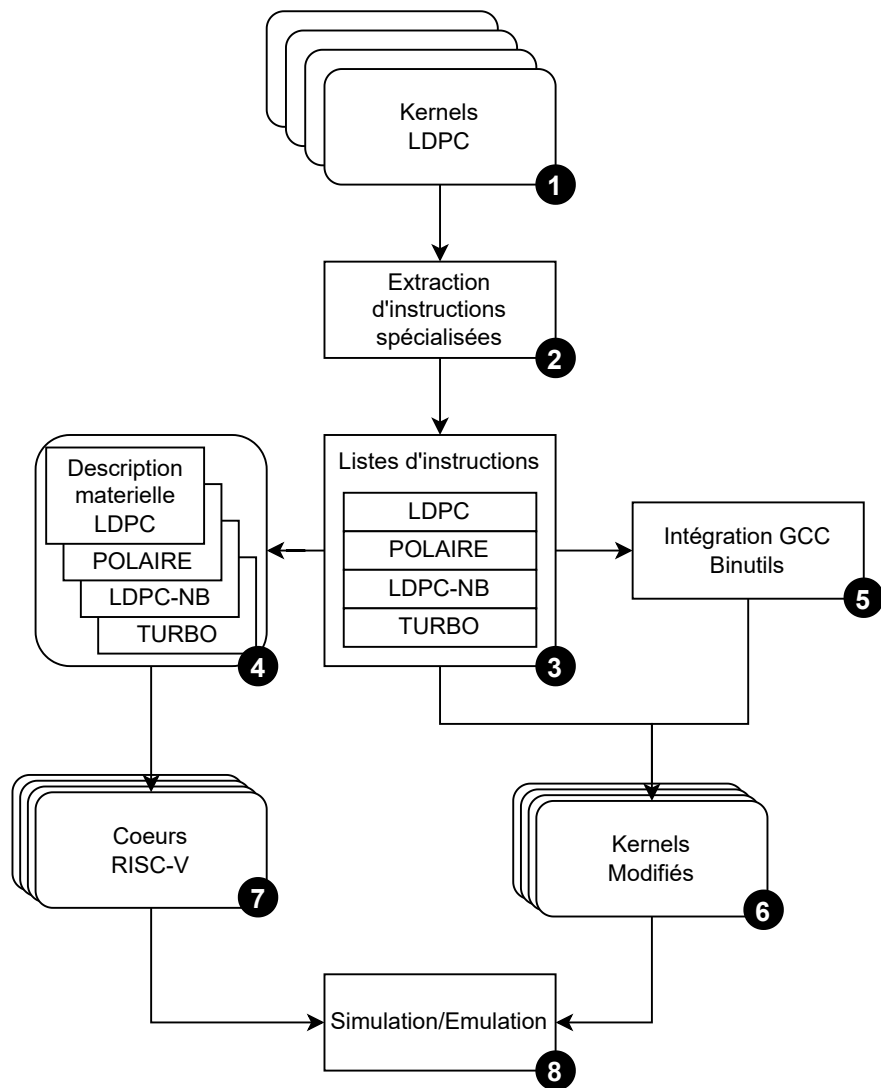


Figure 1.1 – Flot de conception global intégrant l’analyse et la sélection des instructions, l’intégration dans le flot de compilation et la mesure des performances.

Champ	Bits
Opcode	[6:0]
Registre destination	[11:7]
Fonction 3	[14:12]
Registre source 1	[19:15]
Registre source 2	[24:20]
Fonction 7	[31:25]

Table 1.1 – Format 32 bits standardisé pour les instructions de type R (2 registres d’entrées) dans la spécification RISC-V.

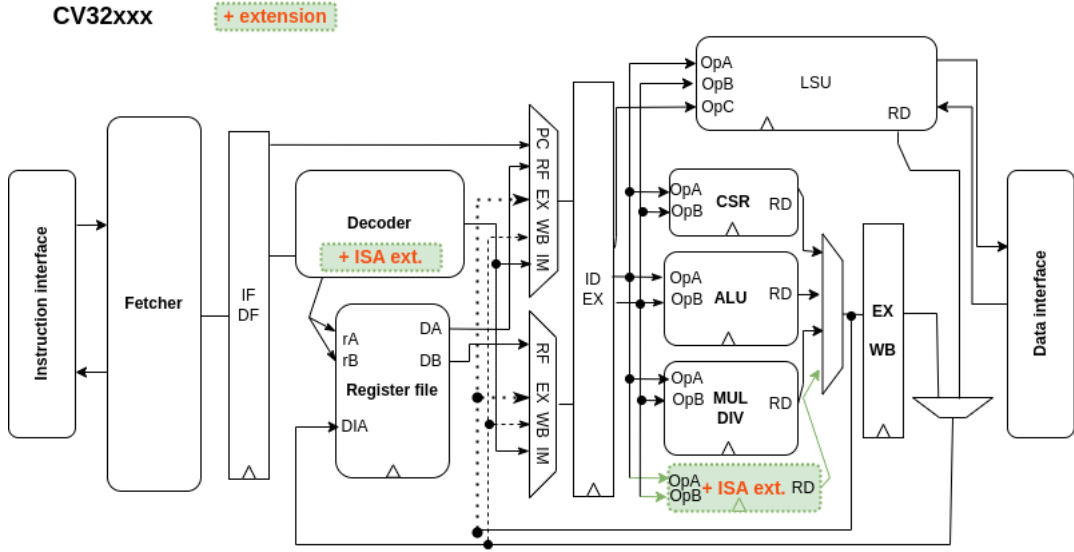


Figure 1.2 – Principe d’insertion d’instruction spécialisées dans un coeur RISC-V (schéma pédagogique du coeur [1])

être ajoutée dans l’architecture du système. Le reste de l’architecture du processeur n’est pas affecté par l’insertion de ces nouvelles instructions. Les expérimentations montrent les gains en performances que ces modifications peuvent apporter pour différents coeurs de processeur RISC-V et pour différents codes correcteurs, en fonction du parallélisme qui sera utilisé. Toutefois, ce type d’architecture avec 2 registres d’entrée et 1 registre de sortie se révèle peu efficace pour certains CCE, comme cela sera démontré par la suite.

La suite de ce chapitre présente, pour chacune des familles de CCE, les motifs d’instructions qui ont été sélectionnés.

### 1.2.1 Amélioration du décodage logiciel des codes LDPC

Depuis leur redécouverte, il y a une trentaine d’années, les codes LDPC ont vu la mise au point de nombreux algorithmes de décodage qui offrent à la fois de bonnes propriétés d’implantation et un pouvoir élevé en termes de correction d’erreurs. Ces derniers ont donné lieu à une multitude d’architectures matérielles tant sur cible ASIC [2] que FPGA [3].

Dans le cadre de ces travaux de thèse, l’algorithme considéré est le *Min-Sum/Offset Min-Sum* (*MS/OMS*) offrant le meilleur compromis entre complexité d’intégration *vs* et performances de décodage. De manière analogue aux architectures matérielles [2, 3] et aux implantations logicielles sur cibles multicœurs [4], la formulation par couche horizontale

Listing 1.1 – Formulation en langage C du calcul de mise à jour des noeuds de parité pour un algorithme MS/OMS avec un ordonnancement horizontal.

```

1  for(iterations) // boucle principale
2  for(int i = 0; i < nb_CN; i++) // boucle Cn
3  int8_t min1 = 127, min2 = 127, signe = 0;
4  int8_t DegCn = deg_Cns[i] ;
5
6  //Parcours des Vn connectées au idx_Cn courant
7  for(int j = 0; j < DegCn; j++) // boucle Vn liés au Cn
8  int8_t contr = accuVN[ posVn[j] ] - c2v[j];
9  contr      = contr > 127 ? 127 : contr;
10 contr      = contr < -127 ? -127 : contr;
11
12 signe      = signe ^ (contr < 0);
13 int8_t abs  = contr > 0 ? contr : -contr;
14
15 if(abs < min1) min1 = abs;
16 else if(abs < min2) min2 = abs;

```

des calculs de parité a été sélectionnée afin d’accélérer la vitesse de convergence du décodeur. L’algorithme de décodage est composé de plusieurs boucles imbriquées permettant le calcul de la parité des nœuds  $C_n$  et la mise à jour des nœuds de données  $V_n$ . Pour ce faire, à chaque *itération* de décodage, l’algorithme va, pour chaque  $C_n$ , actualiser sa valeur de parité à partir des  $DegCn$  nœuds de variable qui lui sont connectés. À la suite de l’évaluation de sa parité, il va rediffuser des messages à ces mêmes  $V_n$ . Par souci de clarté, un extrait de la formulation de cet algorithme de décodage est présenté ci-après dans le listing 1.1. Il s’agit d’un code en langage C présentant le calcul de la valeur interne des nœuds de parité à partir des valeurs des accumulateurs et des messages entrants. Cette description simple permet de mettre en exergue la prédominance des opérations arithmétiques et logiques simples par rapport aux accès mémoires et à l’arithmétique sur les pointeurs.

En analysant cet exemple pédagogique de l’algorithme 1.1, il est possible de se faire une idée des séquences et/ou groupes d’instructions arithmétiques et logiques pouvant être optimisées : soit par une concaténation d’opérations élémentaires, soit par un ensemble d’instructions réduisant la complexité des calculs utilisés dans les boucles. Par exemple, les calculs décrits dans les lignes 8 à 10 réalisent une soustraction signée sur 8 bits suivi d’une saturation symétrique dans l’intervalle  $[127, -127]$ .

Dans le meilleur des cas, cette séquence d’instructions sera exécutée en cinq cycles d’horloge sur un processeur possédant des instructions conditionnées, ou plus sur un

Listing 1.2 – Exemple pédagogique intégrant les instructions du kit ISA.

```

1 for(iterations) // boucle principale
2   for(int i = 0; i < nb_CN; i++) // boucle Cn
3     int8_t min1 = 127, min2 = 127, signe = 0, temp;
4     int8_t DegCn = deg_Cns[i];
5
6     //Parcours des Vn associés au Cn courant
7     for( int j = 0; j < DegCn; j++ ) // boucle Vn liés au Cn
8       int8_t contr = i8_sub_sat127_pi8(accuVN[ posVn[j] ] - c2v[j]);
9
10      signe = signe ^ (contr < 0);
11      int8_t abs = i8_abs_pi8(contr);
12
13      temp = i8_max_pi8(min1, abs);
14      min1 = i8_min_pi8(min2, temp);
15      min2 = i8_min_pi8(abs, min1);

```

cœur RISC-V qui réaliserait des branchements conditionnels. Pour réduire drastiquement ce temps d'exécution, une approche consiste à créer, par exemple, une instruction capable de réaliser cette soustraction saturée en un seul cycle d'horloge grâce à des ressources matérielles spécifiques. Cette instruction spécifique pourrait ensuite être utilisée dans une version optimisée du code C original.

Afin d'illustrer le résultat de cette transformation, on peut constater dans le listing 1.2 à la ligne 7, la présence de cette nouvelle instruction *i8\_sub8\_sat127\_pi8*. Celle-ci remplace les instructions des lignes 7, 8 et 9 de l'algorithme originel (listing 1.1). Cette évolution ne modifie pas le nombre d'itérations de boucle à réaliser, mais réduit la latence de chaque itération et donc minimise le temps d'exécution global.

Pour permettre l'usage de cette nouvelle instruction, il est nécessaire de l'intégrer dans le flot de compilation associé au processeur et plus particulièrement de la provisionner dans l'outil *binutils* comme cela est indiqué dans la figure 1.1. Ainsi, elle devient partie intégrante de l'ISA supportée par le processeur cible et est à la disposition des utilisateurs.

Dans le but de compléter l'intégration de cette nouvelle fonctionnalité, l'opérateur matériel associé doit être décrit au niveau RTL et inséré dans l'architecture de l'UAL du processeur cible. Afin d'illustrer ce travail, la description RTL en langage Verilog de l'opération de soustraction saturée est donné à titre d'exemple dans le listing 1.3.

L'exemple fourni dans la figure 1.2 montre que, sur une section algorithmique simple, les possibilités d'améliorations possibles offertes par l'approche proposée sont multiples. Cependant, ces instructions dédiées permettant de réaliser le calcul d'une soustraction

Listing 1.3 – Description matérielle correspondant à l’instruction *i8\_sub\_sat127\_pi8* écrite en System Verilog.

```

1 //op_a : opérande a de l'UAL
2 //op_b : opérande b de l'UAL
3 //9 bits permettent de contrôler le possible overflow
4 logic [8:0] ldpc_res_minus ;
5 assign      ldpc_res_minus = $signed(op_a[7:0]) - $signed(op_b[7:0]) ;
6
7 always_comb begin
8     unique case (operator)
9         UAL_LDPC_SUB_SAT: begin
10             ldpc_subsat_result = ($signed(ldpc_res_minus) > 9'sd127)? 9'sd127:
11                                 ($signed(ldpc_res_minus) < -9'sd127)? -9'sd127:
12                                 {ldpc_res_minus[7:0]}; //8 bits
13         end
14     end

```

Instruction	Mnémonique	Implantation
Valeur absolue sur 8 bit	<i>i8_abs_pi8</i> rD,rS1	rD := ABS8(rS1)
Addition saturée à 127;-127	<i>i8_add_sat127_pi8</i> rD,rS1,rS2	rD := SAT127(rS1+rS2)
Génération de masque	<i>i8_cmpeq_pi8</i> rD,rS1,rS2	rD := (rS1==rS2)?0xff:0
Maximum signé sur 8 bit	<i>i8_max_pi8</i> rD,rS1,rS2	rD := MAX8s(rS1,rS2)
Minimum signé sur 8 bit	<i>i8_min_pi8</i> rD,rS1,rS2	rD := MIN8s(rS1,rS2)
Valeur nouv. message	<i>i8_invB_Aneq1_pi8</i> rD,rS1,rS2	rD := (rS1 ≥ 1) ? rS2 : -rS2
Calcul du signe	<i>i8_xorA_signB_pi8</i> rD,rS1,rS2	rD := rS1 xor ((rS2 ≥ 0) ? 1:0)
Soustraction saturée à 127;-127	<i>i8_sub_sat127_pi8</i>	rD := SAT127(rS1-rS2)

Table 1.2 – Ensemble d’instructions proposées pour améliorer le décodage de code LDPC dans un contexte de fonctionnement scalaire.

saturée, d’une valeur absolue, d’un minimum et d’un maximum (*i.e. subsat, abs, min et max*) doivent toutes être provisionnées dans l’UAL des cœurs de processeur et être capable de s’exécuter en un cycle d’horloge sans pénaliser fortement la fréquence de fonctionnement. Toutes les sections de l’algorithme ne peuvent pas être optimisées de manière analogue, c’est le cas par exemple des accès à la mémoire qui impliquent des modifications architecturales complexes en dehors de l’UAL.

Finalement, le tableau 1.2, résume les résultats de l’étude menée sur les codes LDPC. Les 8 instructions spécifiques identifiées après analyse de l’algorithme LDPC étudié y sont décrites. L’impact de ces instructions spécialisées sur les performances en termes de réduction du nombre de cycles d’horloges nécessaires pour le décodage sur un cœur RISC-V est détaillé dans la section 5.



Instruction	Mnémonique	Implantation
Addition non-signée saturée à 64;0	u8_addu_sat64_pu8 rD,rS1,rS2	rD := SAT64u(rS1+rS2)
Soustraction non-signée saturée à 64;0	u8_subu_sat64_pu8 rD,rS1,rS2	rD := SAT64u(rS1-rS2)
Minimum non-signée sur 8b	u8_minu_pu8 rD,rS1,rS2	rD := MIN8u(rS1,rS2)

Table 1.3 – Résumé des instructions spécifiques LDPC-NB.

## 1.2.2 Amélioration du décodage logiciel des codes LDPC non binaires

Comme introduit dans le chapitre précédent, les codes LDPC non-binaires sont une transposition des codes LDPC dans les corps de Gallois,  $(\mathbb{GF}(q))$  avec  $q \geq 2$ . Cette extension dans  $\mathbb{GF}$  permet d’atteindre des performances bien supérieures en termes de pouvoir de correction, mais l’évolution des algorithmes de décodage engendre une augmentation considérable de la complexité calculatoire. Du fait de cette complexité, il n’existe que peu d’implantations logicielles ciblant des architectures programmables, et aucune actuellement n’implante des algorithmes manipulant des données entières [5, 6]. Ainsi, la grande majorité des implantations de décodeur LDPC non binaires sont des architectures portées sur ASIC ou FPGA [7]. L’algorithme de décodage retenu pour ces travaux de thèse est l’algorithme *Min-Sum* (*MS*). Son comportement est proche de celui précédemment introduit pour le décodage des codes LDPC binaires. Une matrice de parité  $\mathbf{H}$ , indiquant les connexions entre les nœuds  $\mathbf{C}_n$  et  $\mathbf{V}_n$  est toujours utilisée, même si les valeurs manipulées ne sont plus binaires, mais se trouvent dans un corps des Gallois. L’ordonnancement par couches horizontales est conservé afin de réduire les besoins de mémorisation et réduire le nombre d’itérations de décodage. L’algorithme de décodage est constitué de boucles imbriquées. La nature des données qui sont représentées dans les corps de Gallois apporte de la régularité au niveau des accès à la mémoire. L’algorithme *Min-Sum* ne requiert pas l’utilisation d’opérations complexes à implanter, telles que les multiplications. Dans les calculs de parité associés aux  $\mathbf{C}_N$ , l’utilisation d’additions et de soustractions est nécessaire. Des opérations plus ”complexes” telles que de la recherche de minima et de sa position nécessitent toutefois l’utilisation de branchements conditionnels. Par rapport aux LDPC binaires, une différence forte existe au niveau de l’échange des messages entre les éléments  $\mathbf{V}_N$  et  $\mathbf{C}_N$ , les multiplications et les divisions dans les corps de Gallois, complexes à réaliser, sont implantées à l’aide de permutations (accès mémoire indexés) dont les valeurs sont pré-calculées.

En analysant l’algorithme de décodage réécrit en langage C, dont une sous partie

Listing 1.4 – Extraits de fonctions issues de l’algorithme de décodage LDPC-NB sans instructions spécifiques.

```

1 void process_ecn() { //calcul du noeud de parité courant
2     ...
3     for( unsigned int i =0; i<gf; j++){
4         // boucle de parcours de noeud de valeur gf avec j
5         for(unsigned int j=0; j<gf; j++){
6             int p = i ^ j;
7             // fetch les données depuis la mémoire et addition n-signée
8             // et saturation dans [0, 63]
9             int sum = (unsigned char)a[i] + (unsigned char)b[j];
10            int sumS = sum > 63 ? 63 : sum;
11            // r[p] prends le min
12            r[p] = (sumS < r[p]) ? sumS : r[p];
13        }
14    }
15 }
16 //update additionne et sature dans [0, 63] dans une boucle de degré GF
17 void update(int GF, unsigned char dst[GF], unsigned char src1[GF]) {
18     for(int i=0; i<GF; i++) {
19         int tmp = dst[i] + src1[i];
20         dst[i] = tmp > 63 ? 63 : tmp;
21     }
22 }

```

est fournie dans le listing 1.4, nous avons procédé à l’identification et à la sélection des motifs d’instructions pouvant être optimisés. Les lignes 2 à 10 présentent l’une des boucles de calcul utilisée dans le calcul de parité. Dans cette boucle, la taille du corps du nœud courant est le nombre d’itérations nécessaires à effectuer pour la mise à jour des messages.

Dans ces deux fonctions, pour réduire ce nombre de cycles d’horloges nécessaires à la complétion des calculs, il est possible de concevoir un opérateur matériel supportant plus efficacement les traitements que les instructions présentent nativement dans l’ISA du processeur. La chaîne de compilation qui devra ensuite être mise à disposition des utilisateurs, pourra s’appuyer sur cette nouvelle instruction pour réaliser par exemple cette addition saturée en un seul cycle d’horloge. C’est ce que l’on observe dans l’algorithme mis à jour 1.6 à la ligne 11, où l’on a remplacé l’ensemble des instructions précédentes par la nouvelle instruction *u8\_addu\_sat64\_pu8*. D’un point de vue matériel, il est nécessaire de provisionner dans l’UAL du processeur un opérateur matériel tel que celui décrit dans le listing 1.5 pour effectuer cette addition saturée dans l’intervalle [0, 63].

Le code logiciel présenté dans le listing 1.6 correspond au traitement décrit dans le listing 1.4 avec l’utilisation de cette nouvelle instruction.

Listing 1.5 – Description en System Verilog de l'opérateur associé aux instructions *u8\_addu\_sat64\_pu8* et *u8\_minu\_pu8*.

```

1 //op_a : opérande a de l'UAL
2 //op_b : opérande b de l'UAL
3 unique case (operator_i)
4     UAL_LDPCNB_MINU :
5         ldpcnb_result = (op_a[7:0] >= op_b[7:0]) ?
6                         op_b[7:0] : op_a[7:0];
7
8     UAL_LDPCNB_ADDU_SAT64 :
9         ldpcnb_result = ((op_a[7:0] + op_b[7:0]) > 8'sd63 ) ?
10                        8'sd63 : op_a[7:0] + op_b[7:0];

```

Listing 1.6 – Code source du décodeur bénéficiant de la présence des instructions *u8\_addu\_sat64\_pu8* et *u8\_minu\_pu8*.

```

1 //ré-écriture direct avec l'appel aux instructions spécialisées
2 void process_ecn() { //calcul du noeud de parité courant
3     ...
4     for( unsigned int i =0; i<gf; j++){
5         // boucle de parcours de noeud de valeur gf avec j
6         for( unsigned int j=0; j<gf; j++) {
7             int p = i ^ j; // simple xor
8             unsigned int sumS ;
9             // fetch les données depuis la mémoire et addition n-signée
10            // et saturation dans [0, 63]
11            sumS = u8_addu_sat64_pu8( unsigned char)a[i], (unsigned
12            char)b[j] );
13            // r[p] prends le min
14            r[p] = u8_minu_pu8( sumS , r[p] );
15        }
16    }
17 //update additionne et sature dans [0, 63] dans une boucle de degré GF
18 void update(int GF, unsigned char dst[GF], unsigned char src1[GF] )
19     for(int i=0; i<GF; i++){
20         dst[i] = u8_minu_pu8( dst[i], src1[i] );
21     }

```

Cette analyse s'est poursuivie sur l'ensemble du processus de décodage. Le tableau 1.3 regroupe l'ensemble des instructions retenues pour accélérer le décodage des LDPC-NB. Le nombre réduit d'instructions s'explique ici par la faible diversité des opérations arithmétiques utilisées dans cet algorithme de décodage et la prépondérance des accès mémoire mis en œuvre par exemple pour réaliser les opérations de multiplication et de division dans  $\mathbb{GF}$ .

Listing 1.7 – Description de la fonction *func\_f()* utilisée dans l'algorithme *SC*, ainsi que la fonction *node()* de décodage de l'arbre.

```

1 //node est la fonction de parcours de l'arbre de décodage
2 void node(N, LLR, PS,...) {
3     if (N == 1) { Sommes partielles et bits gelés; }
4     for (x=0; x < N/2 ; x+=1){
5         (LLR+N)[x] = func_f( LLR[x], (LLR+N/2)[x] );
6     }
7     node(...)
8     for (x=0; x < N/2 ; x+=1){
9         temp = func_g( ptr_sum[x], LLR[x], (LLR+N/2)[x] );
10    }
11    node(...)
12    for (x=0; x < N/2 ; x+=1){
13        ptr_sum[x] = func_h( ptr_sum[x], ptr_sum[x+(N/2)] );
14    }
15 }
16
17 //fonction f de l'arbre : retourne le minimum signée entre les LLRs (la,lb)
18 int8_t func_f(int8_t la, int8_t lb){
19     int8_t min1 = abs(la);
20     int8_t min2 = abs(lb);
21     if(min1 > min2) min1 = min2;
22     int8_t sign = (la < 0) ^ (lb < 0);
23     return (sign==0)? min1 : -min1;
24 }

```

### 1.2.3 Algorithme de décodage logiciel des codes polaires

Les codes polaires sont une famille récente de CCE [8], mais fait d'ores et déjà partie intégrante du standard 5G. Les enjeux liés à ce standard ont motivé bon nombre de travaux de recherche durant la dernière décennie. De nombreux algorithmes de décodage ont été proposés dans la littérature, comme cela a été exposé dans le chapitre précédent. Ces derniers ont donné lieu à la réalisation d'implantations matérielles dédiées, mais aussi au développement de solutions logicielles [9, 10]. Dans ces travaux, nous nous sommes focalisés sur l'un des algorithmes qui a été adapté aux implantations logicielles, le *SC*, ainsi qu'à sa variante *Fast-SC* (F-SC) [11]. Il est à noter que ces travaux pourraient par la suite être étendus à l'optimisation de décodeurs basés sur l'utilisation de l'algorithme SC-list [12].

De manière analogue aux réalisations pour les CCE précédents, l'étude menée prend pour source le code C optimisé décrivant ces deux algorithmes de décodage. Une fonction de calcul mise en œuvre dans l'algorithme *SC* est présentée dans le listing 1.7. Ce listing

Listing 1.8 – Description de l’opérateur *i8\_Fx\_pi8* en langage System Verilog.

```

1 //op_a : opérande a de l'UAL
2 //op_b : opérande b de l'UAL
3 assign sign1 = op_a[7] ^ op_b[7] ; //extraction du signe via lecture MSB[7]
4 assign min1 = (( $signed( op_a[7:0] ) >= 0 ) ? op_a[7:0] : -op_b[7:0] );
5 assign min2 = (( $signed( op_b[7:0] ) >= 0 ) ? op_b[7:0] : -op_a[7:0] );
6
7 UAL_POLAR_F: polar_result =
8     {(min1 > min2)? (sign1 == 0)? min2 : -min2 :
9                  (sign1 == 0)? min1 : -min1
10    };
11 end

```

décrit l’algorithme de décodage sous sa forme récursive ainsi qu’une fonction de calcul régulièrement exécutée. Cette fonction *func\_f()* est utilisée pour calculer les données des branches de gauche lors du parcours de l’arbre binaire. Elle est composée d’une séquence d’opérations arithmétiques interdépendantes.

Il est possible de remplacer toutes les instructions de cette fonction par une unique instruction spécialisée. En effet, la fonction  $f$  : (a) ne nécessite que deux variables d’entrée et (b) ne produit qu’une seule et unique sortie, ce qui correspond aux contraintes architecturales fixées. La conception de l’opérateur matériel associé, dont une description est fournie dans le listing 1.8, doit permettre de réduire notablement le temps d’exécution du processus de décodage.

Une analyse complète de l’algorithme *SC* a permis d’identifier six motifs pouvant bénéficier de la conception d’instructions dédiées, comme cela est résumé dans le tableau 1.4. Il est à noter que la même procédure a été appliquée sur l’algorithme *Fast-SC* qui est une extension de l’algorithme *SC*. Cela a permis d’identifier cinq instructions supplémentaires comme mentionné dans le tableau 1.4.

#### 1.2.4 Algorithme de décodage logiciel des turbo codes

Les turbo codes [13, 14] sont connus et utilisés depuis plusieurs années dans de nombreux standards, comme par exemple le 4G-LTE [15]. Lors de la conception de décodeurs associés, qu’ils soient matériels ou logiciels, l’algorithme *Max-log-MAP* (MLM) est souvent plébiscité à cause du compromis complexité / performance qu’il offre. C’est aussi, d’après les travaux de la littérature, le plus adapté pour une implantation logicielle [16], justifiant sa sélection. Comme cela a été introduit dans le chapitre précédent, les algo-

Instruction	Mnémonique	Implantation
Addition signée saturée à 8 bit	<code>i8_add_sat127_pi8 rD,rS1,rS2</code>	<code>rD := SAT127(rS1 + rS2)</code>
Soustraction signée saturée à 8 bit	<code>i8_sub_sat127_pi8 rD,rS1,rS2</code>	<code>rD := SAT127(rS1 - rS2)</code>
Fonction F de l'arbre de décodage	<code>i8_Fx_pi8 rD,rS1,rS2</code>	<code>min1 := ABS8b(rS1)</code> <code>min2 := ABS8b(rS2)</code> <code>min1 := MIN8(min1, min2)</code> <code>sign := (rS1 &lt; 0)^(rS2 &lt; 0)</code> <code>rD := (sign == 0) ? min1 : -min1</code>
Fonction R de l'arbre de décodage	<code>i8_Rx_pi8 rD,rS1,rS2</code>	<code>rD := (rS2 == 1) ? 0 :</code> <code>(rS1 &lt; 0) ? 1 : 0</code>

Table 1.4 – Résumé des instructions spécifiques au décodage des codes polaires (SC et F-SC) dans un contexte scalaire.

Listing 1.9 – Code source du décodeur bénéficiant de la présence de l'instruction `i8_Fx_pi8`.

```

1 //Nouvelle fonction f de l'arbre fait appel à l'instruction i8_Fx_pi8()
2 int8_t func_f(int8_t la , int8_t lb){
3     return i8_Fx_pi8(la , lb);
4 }
5 //le décodage de l'arbre reste inchangé
6 void node(N, LLR, PS,...) {
7     if (N == 1) { Sommes partielles et bits gelés ;}
8     for(x=0; x < N/2 ; x+=1)
9         (LLR+N)[x] = func_f( LLR[x], (LLR+N/2)[x] );
10    node(...)
11    for(x=0; x < N/2 ; x+=1)
12        temp = func_g( ptr_sum[x], LLR[x], (LLR+N/2)[x] );
13    node(...)
14    for(x=0; x < N/2 ; x+=1)
15        ptr_sum[x] = func_h( ptr_sum[x], ptr_sum[x+(N/2)] );
16 }

```

rithmes de turbo décodage opèrent sur des treillis sur lesquels ils calculent divers métriques de branches. Cela se traduit dans la formulation algorithmique par la présence de boucles dans lesquelles, pour chaque état du treillis, différentes valeurs sont mises à jour. Contrairement aux autres familles de CCE, ces métriques codées en virgule fixe ne sont pas saturées. Ainsi, dans la version scalaire de l'algorithme de décodage, peu de motifs d'instructions répondent aux contraintes énoncées. Parmi les motifs restants, le facteur de pénalisation des valeurs des extrinsèques présenté dans le listing 1.10 est un candidat.

En effet, l'application d'un coefficient  $3/4$  sur une valeur entière signée ne peut pas être réalisée à l'aide d'un décalage à droite et d'une simple soustraction. Cette optimisation

Listing 1.10 – Extrait minimal de la fonctions scalaire *scale* de algorithme de décodage turbo code.

```

1 int8_t scale_ext(int8_t llr_ext){
2     return val = (i_ext[k] * 3) / 4 ;
3 }

```

Listing 1.11 – Exemple de l'instruction *scale* spécifique dans l'UAL en System Verilog.

```

1 //op_a : opérande a de l'UAL
2 assign tb_sign = ($signed(op_a) >= 0 )? 1 : 0 ;
3 assign tb_in_A = (tb_sign) ? op_a[7:0] : -op_a[7:0] ;
4 assign tb_in_B = tb_in_A >> 2 ;
5 assign tb_in_C = tb_in_A - tb_in_B ;
6
7 UAL_TURBO_SCALE : begin
8     turbo_scale_result = (tb_sign) ? tb_in_C : -tb_in_C ;
9 end

```

provoque une asymétrie liée au codage en complément à deux des données signées. Ainsi, cette mise à l'échelle des extrinsèques peut s'avérer onéreuse en termes de temps d'exécution. Cette suite d'instructions, onéreuse en cycles d'horloge, peut être efficacement réalisée d'un point de vue matériel tel que cela est présenté dans le listing 1.11.

L'absence de saturation dans ces algorithmes de décodage, ainsi que les contraintes architecturales (2 opérandes d'entrée) limitent le nombre de motifs pouvant bénéficier d'une implantation matérielle. Ainsi, pour cet algorithme, uniquement 2 instructions sont identifiées comme pertinentes à l'amélioration de la latence générale du décodeur tel que cela est résumé dans le tableau 1.5.

### 1.2.5 Synthèse des extensions proposées

Dans cette partie, une synthèse des différentes instructions qui ont été retenues est proposée. Ces instructions, listées dans le tableau 1.6 ont été conçues pour travailler sur

Instruction	Mnémonique	Implantation
Maximum non-signée sur 8b	i8_max_pi8 rD,rS1,rS2	rD := MAX8u(rS1,rS2)
Application coefficient 0.75	i8_scale_pi8 rD,rS1	Sign := (rS1 ≥ 0) ? 1:0 A := ABS8b(rS1) B := A >> 2 C := A-B rD := (Sign) ? -C : C

Table 1.5 – Résumé des instructions spécifiques au décodage des turbo codes

<b>Mnémonique proposé</b>	<b>LDPC OMS</b>	<b>LDPC-NB MS</b>	<b>polaire F-SC/SC</b>	<b>turbo code MLM</b>
i8_abs_pi8 rD,rS1	✓	-	-	-
i8_add_sat127_pi8 rD,rS1,rS2	✓	-	✓	-
i8_cmpeq_pi8 rD,rS1,rS2	✓	-	-	-
i8_max_pi8 rD,rS1,rS2	✓	-	-	✓
i8_min_pi8 rD,rS1,rS2	✓	-	-	-
i8_invB_Aneq1_pi8 rD,rS1,rS2	✓	-	-	-
i8_xorA_signB_pi8 rD,rS1,rS2	✓	-	-	-
i8_sub_sat127_pi8 rD,rS1,rS2	✓	-	✓	-
u8_addu_sat64_pu8 rD,rS1,rS2	-	✓	-	-
u8_subu_sat64_pu8 rD,rS1,rS2	-	✓	-	-
u8_minu_pu8	-	✓	-	-
i8_scale_pi8	-	-	-	✓
i8_Fx_pi8 rD,rS1,rS2	-	-	✓	-
i8_Rx_pi8 rD,rS1,rS2	-	-	✓	-
Total	8	3	4	2

Table 1.6 – Récapitulatif des instructions proposées pour l’amélioration du décodage des CCE.

des données scalaires codées sur 8 bits. Ce format de représentation limite les pertes de performances lors du décodage de codes CCE par rapport au format flottant et permet d’imaginer leur extension sous la forme d’instructions SIMD par la suite. Toutefois, il est possible de les transposer sur des formats de quantification supérieurs, c.-à-d.. 32 bits. Le tableau 1.6 montre que le décodage des codes LDPC peut bénéficier de 8 instructions spécialisées, tandis que les algorithmes de décodage des codes LDPC-NB et des codes polaires (SC et F-SC) n’en possèdent que 4. Les améliorations sont plus limitées pour le turbo décodage où seules 2 instructions ont été identifiées. Il est intéressant de noter qu’il existe un sous-ensemble d’instructions commun à tout ou partie des codes CCE. Ainsi, afin d’accélérer l’ensemble des décodeurs, seules 17 instructions sont nécessaires. Afin de tester et d’évaluer l’efficacité et la pertinence des instructions proposées, le flot décrit dans la figure 1.1 est mis en place. Nous allons commencer par détailler celui-ci, puis nous présenterons les cœurs RISC-V retenus dans le cadre de ces travaux de thèse avant de présenter les résultats expérimentaux.



## 1.3 Évaluation de l'impact de l'ajout d'instructions spécialisées sur coeurs RISC-V

Les premiers travaux autour du RISC-V ont généré une importante émulation au sein des communautés scientifiques et industrielles, menant au développement de nombreux coeurs. À ce jour, de multiples coeurs RISC-V sont disponibles sous des licences *open-source* à des fins d'évaluation et/ou d'expérimentations. Les implantations varient tant au niveau du jeu d'instructions que des caractéristiques intrinsèques de l'architecture (nombre d'étages de pipeline, complexité de l'UAL, taille des mémoires caches...). Dans certains coeurs des mécanismes plus complexes, tel que la capacité d'exécution dans le désordre (*i.e. Out-of-Order*) et/ou l'utilisation de front-end super-scalaire ont été intégrés. Toutefois, chaque coeur est potentiellement extensible et modifiable pour permettre l'ajout d'instructions dédiées. Cependant, leurs complexités architecturales et la qualité de leurs descriptions sources peuvent parfois rendre complexe, voir compromettre, ce type d'opération. Dans le cadre de ces travaux et après une vaste étude préliminaire, quatre coeurs RISC-V ont été sélectionnés : **PicoRV32**[17], **RISCV**[18], **IBEX**[19, 20] et **SCR1**[21].

Cette sélection est basée sur les différences architecturales, les performances générales et la complexité matérielle respective des coeurs. L'objectif principal étant d'évaluer de la façon la plus objective possible l'apport et l'impact des différentes instructions ajoutées avec notre approche. Les quatre architectures RISC-V sélectionnées supportent le jeu d'instruction RV32-IMC (I : integer, M : multiplication et division, C : instructions compressées). Comme cela est indiqué dans le tableau 1.7, le nombre d'étages de pipeline mis en oeuvre varie entre 1 et 4.

Les caractéristiques principales des quatre coeurs sélectionnés sont présentées ci-dessous :

- **PicoRV32**[17] est un coeur à faible complexité. Il a été conçu pour supporter des applications simples. Son implantation matérielle est légère et permet d'atteindre des fréquences de fonctionnement élevées (>300 MHz) sur des cibles de type FPGA. Cependant, il ne possède qu'un seul étage de pipeline avec exécution dans l'ordre.
- **RISCV**[18] est un coeur RISC-V performant initialement développé par les équipes du MIT et depuis maintenu par le projet *PULP*. Ce coeur implémente un jeu d'instructions spécialisées visant à l'optimisation des opérations arithmétiques régulières. Son architecture cible principalement des applications DSP à faible consommation énergétique. Il possède 4 étages de pipeline avec exécution dans l'ordre [22].

	Pipelines	CoreMark/MHz	Complexité (LUTs)	Sources
<b>PicoRV32</b>	1	0.4	~1 000	Verilog
<b>IBEX</b>	2	2.47	~2 500	Sys. Verilog
<b>SCR1</b>	3	2.43	~4 000	Sys. Verilog
<b>RISCY</b>	4	3.19	~10 000	Sys. Verilog

Table 1.7 – Comparatifs de cœurs de processeurs RISC-V sélectionnés

- **IBEX**[19, 20] initialement connu comme le *micro-RISCY*, ce cœur offre un compromis entre performance et complexité matérielle. Il implémente 2 étages de pipeline avec exécution dans l’ordre dans sa configuration de base. Similairement au **RISCY**, son développement a commencé au sein du projet PULP avant d’être cédé au groupe *lowRISC*.
- **SCR1**[21] est un cœur performant qui atteint un score MIPS (Million Instructions Per Second) élevé tout en conservant une complexité matérielle modérée. Son architecture utilise trois étages de pipeline avec exécution dans l’ordre dans sa configuration de base.

Comme mentionné plus haut, ces quatre cœurs RISC-V ont été sélectionnés afin de proposer une évaluation impartiale de nos extensions des ISA de ces processeurs. En effet, les différentes caractéristiques architecturales permettent une analyse des bénéfices et des coûts dans différents contextes. Les résultats obtenus sont présentés et analysés dans la prochaine section. Il faut noter, et ce, afin de garantir l’homogénéité des tests et de simplifier les comparaisons futures, que le jeu d’instruction des différents cœurs a été restreint à la spécification RV32I. Dans cette section, les performances de l’ensemble des instructions spécialisées identifiées et déployées sur les cœurs RISC-V sont présentées et évaluées. Comme décrit dans les sections précédentes, les versions logicielles originales des CCE considérés ont été exécutées sur chacun des cœurs sans modification, établissant ainsi les performances de référence. Ensuite, les codes sources modifiés, intégrant l’usage des instructions spécifiques, ont également été exécutés dans le but de mesurer la différence entre les temps d’exécution. De même, l’impact en termes de complexité matérielle de l’ajout de ces nouvelles instructions dans les cœurs RISC-V, ainsi que l’évolution de leur fréquence de fonctionnement maximale ont été étudiés. À cette fin, les versions originales et enrichies des cœurs ciblés ont été prototypées sur des FPGA *Xilinx Artix-7* et *Kintex-7*.

Pour mener à bien ces expérimentations, les programmes décrivant le comportement des décodeurs ont été écrits en langage C visant une exécution en mode bare-metal. Afin de compiler l’ensemble de ces codes et de produire les binaires exécutés par les cœurs RISC-

V, GCC 12.2 a été utilisé. Le compilateur est configuré afin de générer un exécutable ne comportant que des instructions RV32I et avec le flag d’optimisation -O3.

Un ensemble d’expérimentations a été conduit afin de mesurer les gains apportés par l’utilisation d’instructions spécialisées opérant sur des données scalaires codées sur 8 bits (SISD). Ces expérimentations ont été réalisées sur chacune des cibles présentées précédemment.

Un sous-ensemble des résultats de mesure concernant les temps d’exécution et les débits des différents décodeurs est présenté dans le tableau 1.8. Les valeurs fournies dans ce tableau présentent pour chacun des cœurs, le nombre de cycles d’horloge nécessaires pour l’exécution du code logiciel original (sans instruction dédiées), noté **①Baseline** ainsi que le nombre de cycles d’horloge nécessaires à la version exploitant les nouvelles instructions (**②SISD ISA 2R**). La différence entre ces deux mesures est indiquée sur les lignes *Gain ①→②*, le gain apporté par la version enrichie est exprimé en pourcentage. Il est important de noter que le gain en pourcentage est la métrique la plus cohérente au vu des différences d’architectures des cœurs de tests. Les débits sont calculés en fonction de la fréquence maximale obtenue après placement et routage par l’outil Vivado sur cible FPGA.

L’amélioration des performances pour l’algorithme de décodage LDPC est significative pour l’ensemble des cœurs considérés. La réduction du nombre de cycles d’horloges varie de 36% dans le cas le plus défavorable (**IBEX**) et atteint  $\approx 40\%$  avec le cœur **SCR1**. Ces gains sont liés à la forte diminution du nombre d’instructions dans les kernels de calcul dont la complexité était prépondérante jusque-là.

Le tableau 1.9 permet une lecture plus fine des instructions impliquées lors de l’exécution des décodeurs LDPC. Ces données font apparaître le type et nombre d’instructions exécutées entre les 2 versions du même algorithme, sur le cœur **PicoRV32**. Les instructions de contrôle (*i.e.* branchements conditionnels ou sauts), ainsi que les opérations arithmétiques et logiques sont en nette diminution. Les gains sont d’environ 83% pour les premières et 60% pour les secondes). L’analyse de la ligne *Total* permet d’observer la réduction du nombre d’instructions réellement exécutées par le cœur **PicoRV32** pour les deux versions du décodeur LDPC. Avec une réduction avoisinant 40% d’instructions exécutées, l’efficacité des choix réalisés est avérée.

Si l’on s’intéresse au décodage des codes polaires par l’algorithme *SC*, dont les valeurs sont résumées dans le tableau 1.11, les gains mesurés ont une plus grande variabilité. Les gains les plus faibles sont obtenus pour les expérimentations réalisées sur le cœur **SCR1** qui voient se réduire de 30.9% le temps de calcul. Les gains les plus importants sont quand

			LDPC OMS	SC	polaire F-SC	LDPC-NB MS	turbo MLM
<b>PicoRV32</b>	❶ Baseline	cycles	217172	1333324	676218	3476435	2503511
	❷ SISD	cycles	131853	753144	332693	2875953	2133442
	Gain (❶→❷)	cycles	85319	580180	343525	600482	370069
	Gain (❶→❷)	(%)	39.3%	43.5%	50.8%	17.3%	14.8%
	Débit ❶	Kbits/s	429	2106	4153	252	1695
	Débit ❷	Kbits/s	659	3357	7599	305	1947
	Accélération (❶→❷)		1.5×	1.6×	1.8×	1.2×	1.1×
<b>IBEX</b>	❶ Baseline	cycles	84966	516441	261090	1390238	1018910
	❷ SISD	cycles	54340	288594	138544	1086873	782778
	Gain (❶→❷)	cycles	30626	227847	122546	303365	236132
	Gain (❶→❷)	(%)	36.0%	44.1%	46.9%	21.8%	23.2%
	Débit ❶	Kbits/s	317	1571	3107	18	1204
	Débit ❷	Kbits/s	515	2942	6129	24	1615
	Accélération (❶→❷)		1.6×	1.9×	2.0×	1.3×	1.3×
<b>SCR1</b>	❶ Baseline	cycles	76775	397790	218120	1310272	927495
	❷ SISD	cycles	47995	274793	125037	1081939	758988
	Gain (❶→❷)	cycles	28780	122997	93083	228333	168507
	Gain (❶→❷)	(%)	37.5%	30.9%	42.7%	17.4%	18.2%
	Débit ❶	Kbits/s	362	2107	3842	20	1366
	Débit ❷	Kbits/s	586	3021	6639	24	1661
	Accélération (❶→❷)		1.6×	1.4×	1.7×	1.2×	1.2×
<b>RISCV</b>	❶ Baseline	cycles	77678	348107	192935	1103396	890712
	❷ SISD	cycles	48096	228581	113843	878938	674609
	Gain (❶→❷)	cycles	29582	119526	79092	224458	216103
	Gain (❶→❷)	(%)	38.1%	34.3%	41.0%	20.3%	24.3%
	Débit ❶	Kbits/s	105	706	1274	7	417
	Débit ❷	Kbits/s	170	1075	2159	9	551
	Accélération (❶→❷)		1.6×	1.5×	1.7×	1.3×	1.3×

Table 1.8 – Comparaison des performances des coeurs utilisant des instructions à 2 entrées, configuration 8 bits SISD avec la fréquence de fonctionnement maximale pour chaque implantation.

à eux obtenus sur le cœur **PicoRV32** où le temps d'exécution est réduit jusqu'à 43.5%. La version *Fast-SC* de l'algorithme de décodage bénéficie d'une amélioration variant de 50.8% à 40.9% sur l'ensemble des cœurs RISC-V testés. Ce différentiel, par rapport à l'algorithme SC, s'explique par l'élagage qui évite de descendre trop profondément dans

Type d'instruction	décodeur baseline	décodeur modifié	différence
Contrôle	8729	1493	-82.9%
Arithm. et logique	44689	17837	-60.1%
Instructions dédiées	0	9360	>100%
Accès mémoire	8912	9229	+3.6%
Total	62332	37921	-39.2%

Table 1.9 – Nombre d'instructions exécutées lors du décodage de codes LDPC sur le coeur **PicoRV32** classées en fonction de leur type.

Type d'instruction	décodeur baseline	décodeur modifié	différence
Contrôle	37238	10517	-71.8%
Arithm. et logique	116527	37887	-67.5%
Instructions dédiées	0	6704	>100%
Accès mémoire	38515	31865	-17.3%
Total	192280	86973	-54.7%

Table 1.10 – Nombre d'instructions exécutées lors du décodage de codes polaires sur le coeur **PicoRV32** (algorithme *Fast-SC*), classées en fonction de leur type.

l'arbre de décodage où le ratio entre le nombre de calculs sur le nombre d'accès mémoire et d'instructions de contrôle est faible. Ces explications sont confortées par les données expérimentales exposées dans le tableau 1.10. Ces données précisent le nombre d'instructions de chaque type nécessaire à l'exécution de l'algorithme de décodage sur les 2 coeurs **PicoRV32**.

Si l'on s'intéresse aux autres CCE présentés dans le tableau 1.8, on peut noter que les gains en termes de temps d'exécution pour l'algorithme de décodage des codes LDPC-NB n'est pas aussi importante en comparaison des autres codes. Ces derniers avoisinent 22% sur le coeur **IBEX** et seulement 17.3% sur le coeur **PicoRV32**. La cause de ces gains plus faibles est liée au nombre important d'accès à la mémoire. En effet, le nombre d'accès mémoire est à peu près équivalent au nombre de calculs à réaliser, cela limite le facteur d'accélération.

Enfin, pour conclure, les facteurs d'accélération atteint par les turbo décodeurs, tels qu'indiqué dans le tableau 1.8 varient de 14.8% sur le coeur **PicoRV32** tandis qu'ils atteignent 24.2% sur le coeur **RISCY**. Ces faibles gains s'expliquent par le faible nombre d'instructions spécifiques identifiées.

Ces résultats expérimentaux sur les coeurs RISC-V démontrent que l'enrichissement

Nb. Insn. Cst.	BASE	LDPC OMS	POLAIRE		LDPC-NB MS	TURBO Max-Log MAP
			SC	Fast-SC		
		8	4	4	3	2
<b>PicoRV32</b>	978 LUTs	+34%	+12.3%	+12.3%	+12.5%	+12.6%
	567 FFs	+3%	+1.6%	+1.6%	+1.2%	+0.9%
	343 MHz	-6.7%	-9.9%	-9.9%	0.0%	-2.1%
<b>IBEX</b>	2446 LUTs	+9.1%	+3.1%	+3.1%	+4%	+4.2%
	883 FFs	+0.0%	+0.0%	+0.0%	+0.0%	+0.0%
	99 MHz	+3.8%	+4.7%	+4.7%	+4.1%	+3.1%
<b>SCR1</b>	3986 LUTs	+5.3%	+3.0%	+3.0%	+3.3%	+1.6%
	2399 FFs	0.0%	0.0%	0.0%	0.0%	0.0%
	102 MHz	+1.0%	-0.9%	-0.9%	-0.4%	-0.5%
<b>RISCY</b>	10302 LUTs	+1.8%	+2.1%	+0.7%	+0.8%	+0.6%
	3033 FFs	0.0%	0.0%	0.0%	0.0%	0.0%
	30 MHz	0.0%	0.0%	0.0%	0.0%	0.0%

Table 1.11 – Surcoût matériel de l’ajout d’instructions spécialisées (en LUT)

proposé améliore notablement, dans tous les cas analysés, l’implantation logicielle des algorithmes de décodage. Cependant, ces gains sont non homogènes démontrant, de ce fait, l’intérêt d’évaluer ce travail sur plusieurs cœurs.

L’extension du jeu d’instructions des cœurs et l’adjonction d’un ensemble d’opérateurs matériels spécifiques dans le chemin de données modifie les caractéristiques post-synthèse. Plus spécifiquement, modifier la logique interne et l’architecture d’un cœur de processeur impacte la complexité matérielle et potentiellement la fréquence maximale de fonctionnement. Pour analyser les pénalités engendrées par les instructions ajoutées pour le support des décodeurs de CCE, différentes expérimentations ont été menées. Les résultats obtenus sont reportés dans le tableau 1.11. Les données présentées correspondent aux valeurs obtenues après les étapes de placement et de routage.

Les données présentées dans la table 1.11 et les figures 1.3 montrent que le surcoût introduit par nos instructions dépend fortement du cœur RISC-V considéré. Même si la complexité matérielle des parties opératives placées dans l’UAL est constante, le surcoût engendré par la modification du décodeur d’instructions et des barrières de registres du pipeline lui est variable en fonction des cœurs. Ces différences peuvent être de plus exacerbées par les scripts de synthèse fournis avec les différents cœurs qui ne sont pas tous identiques en termes d’objectif d’optimisation (vitesse versus complexité). Ainsi, l’intégration des instructions proposées pour le décodage des codes LDPC augmente le coût de l’architecture **IBEX** d’environ +9.1% en termes de LUTs, tandis que pour le cœur **Pi-**

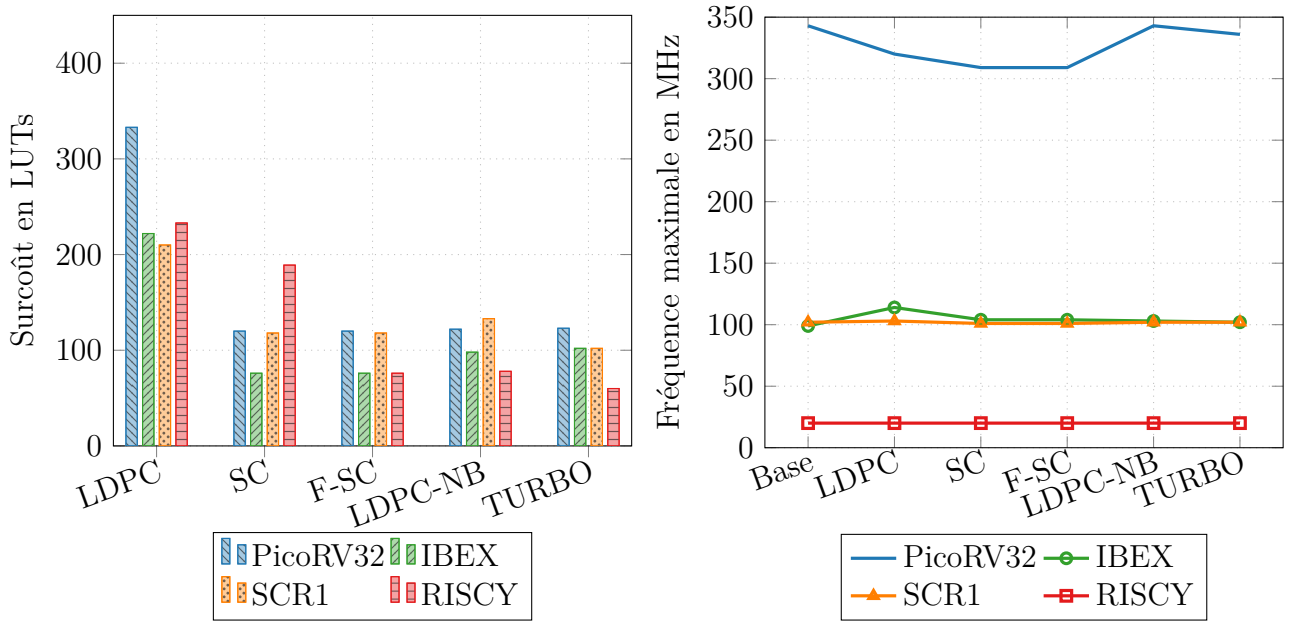


Figure 1.3 – Impact de l'ajout des instructions spécialisées : surcoût en LUT et fréquence de fonctionnement.

**coRV32** plus compact, l'augmentation est de 34%. Si l'on considère les autres extensions pour lesquelles le nombre d'instructions ajoutées est moins important, les surcoûts sont plus faibles. Cependant, l'analyse fine de ces différents résultats, et le positionnement du coût des extensions les uns par rapport aux autres n'est pas triviale, à cause des choix opérés par Vivado lors de la synthèse logique et du placement/routage.

Ces observations sont confirmées par l'analyse de l'évolution des fréquences maximales de fonctionnement. Dans la figure 1.3, la fréquence de fonctionnement maximale pour le **PicoRV32** est affectée par l'intégration des différents jeux d'instructions. Ce cœur subit une augmentation de la durée de son chemin critique de  $\approx 7\%$  (LDPC) à  $\approx 10\%$  (polaire) en fonction des instructions qui lui sont ajoutées. A l'opposé, sur le cœur **RISCY**, la durée du chemin critique n'est pas impactée car ce dernier ne se situe pas dans l'étage d'exécution. Les expérimentations sur les cœurs **IBEX** et **SCR1** démontrent quant à elles l'imprévisibilité des résultats de synthèse logique liée aux choix réalisés par les outils. Ainsi l'on observe une augmentation de la fréquence de fonctionnement de  $\approx 3\%$  à  $\approx 5\%$  est obtenue pour le cœur **IBEX** tandis que pour le **SCR1**, la fréquence varie de  $-1\%$  à  $+1\%$ .

Les résultats présentés dans cette partie mettent en avant l'intérêt de l'approche SISD. En effet, l'impact sur les caractéristiques matérielles des cœurs reste bien inférieur aux gains en termes de temps d'exécution présentés dans le tableau 1.8. Il est important de

considérer qu'un travail supplémentaire d'optimisation des opérateurs matériels ajoutés pourrait permettre de réduire leur coût en partageant par exemple certaines des ressources mises en œuvre dans l'UAL traditionnelle et celles nécessaires pour les nouvelles instructions.

## 1.4 Conclusion

Dans ce chapitre, nous avons présenté la méthodologie d'identification et de conception d'instructions spécialisées pour des algorithmes de décodage des CCE. Les instructions proposées ont été conçues sous forme kits d'instructions suffisamment agnostiques de l'architecture cible, pour pouvoir être intégrées dans tous types de cœur de processeurs.

Pour démontrer l'intérêt de l'approche et la pertinence de ces instructions retenues, nous avons porté nos kits sur plusieurs cœurs RISC-V. Les expérimentations menées permettent, évidemment d'observer que ces instructions spécialisées à des traitements spécifiques (ici les CCE) dans des cœurs, réduisent fortement les temps d'exécution des applicatifs pour lesquels ils ont été conçus.

Toutefois, la nature d'exécution de ces décodeurs de CCE permet d'utiliser des schémas de parallélisation de type inter-frames et intra-frame afin de considérablement améliorer les performances en termes de débit et de latence. Ces techniques ainsi que les instructions spécialisées associées de type SIMD sont présentées dans le chapitre suivant.